

有理曲線の輪を含む  $\mathbb{P}^3$ -曲面について

榎 一郎 (上智大 理工)

### §1. Introduction

コンパクト連結の2次元の複素多様体を単に曲面と呼ぶ。 $\mathbb{P}^3$ -曲面とは、 $b_1=1$ の複素曲面のこと、すなわち、小平の曲面の分類表 [6, I, IV] において、その構造の欄が空欄、"?" となっている唯一の曲面のことである。例は、次のようにさまざまなもの知られている:

- 0)  $\mathbb{P}^2$ 上の楕円曲面 (の一部) } [6, II]\*
  - 1) Hopf 曲面
  - 2) 曲線なしの井上曲面 (三種類) [7]\*
  - 3) 放物型井上曲面 [8], [3 II], [2]\*
  - 4) Hilbert モーザウ型井上曲面 [8, II], [9]\*
- (それぞれ, [ ]\*において特徴付が与えられる)

ている。) 一方, 加藤 [3, I] は次のような概念を導入した。

定義 十分小さい  $\varepsilon > 0$  に対して,

$$\Omega = \{ z = (z_1, \dots, z_n) \in \mathbb{C}^n \mid 1 - \varepsilon < \sum_{i=1}^n |z_i|^2 < 1 + \varepsilon \}$$

と置く。連結コンパクトな  $n$  次元複素多様体  $X$  に対し, 正則な包含写像  $\varepsilon: \Omega \hookrightarrow X$  があって,  $X - \varepsilon(\Omega)$  が連結となるとき,  $\varepsilon(\Omega)$  を  $X$  の GSS (global spherical shell) といい。

上にあげた例のうち,  $\pi_1 \cong \mathbb{Z}$  の Hopf 曲面, 故物型井上曲面, Hilbert <sup>モジュラー</sup> 型井上曲面は GSS を含む。さらに別の  $\pi_1$ -曲面が, GSS を含む曲面として構成できる [3, I] [1] (§5 を見よ)。現在 (1981 年末) 知られている  $b_2 > 0$  の  $\pi_1$ -曲面の例は, GSS を含むものだけになっている。

ここでは, GSS の存在定理  $\Gamma$  の第一歩として, 次の定理とその応用について述べる。

定理 1. GSS を含む曲面の任意の変形は, 再び, GSS を含む。

実際, これは, 弱い形ではあるが, 一種の存在定理であって, 次の定理の証明に応用

できる。

定理 2 [9].  $S$  を  $b_2 > 0$  の  $\mathbb{P}^1$ -曲面とする。このとき、 $S$  上の曲線  $C$  で  $b_1(C) \geq 2$  となるものがあれば、 $S$  は GSS を含む。

上の定理において、 $C$  は連結でなくてもよい。一般に、 $b_2 > 0$  の  $\mathbb{P}^1$ -曲面上の曲線は  $3 \geq b_1 \geq 0$  を満たす。 $b_2 = 0$  の曲線を含む  $\mathbb{P}^1$ -曲面は既に決定されている (§ 2, § 3 の事実を見よ)。

## § 2. $\mathbb{P}^1$ -曲面上の曲線

$S$  を  $\mathbb{P}^1$ -曲面,  $C$  を  $S$  上の任意の曲線とする。

$S$  の代数次元が 1 なる,  $S$  は楕円曲面で,  $b_2(S) = 0$ ,  $C$  の連結成分は全て (非特異) 楕円曲線 [5, II].

$S$  の代数次元が 0 なる, [5, I; TR. 5. 1] の証明から,  $C$  の仮想種数  $\pi(C)$  に関して次がわかる:

$$1) \quad \pi(C) \leq g(S) - p_g(S) + 1 = 2$$

さらに,  $S$  の  $m$  次不分岐被覆 (これも代数次元 0 の  $\mathbb{P}^1$ -曲面) を考えて ( $m \geq 3$ ), 1) を用いると次がわかる。

2)  $C$  は正規交叉, 各既約成分は, 非特異有理曲線, 通常二重点をもつ有理曲線もしくは非特異楕円曲線のいづれか。

3)  $b_1(C) \neq 0$  なら,  $C$  は  $H_1(S, \mathbb{R}) \cong \mathbb{R}$  の生成元を代表するループを含む。

### §3. 楕円曲線を含む $\mathbb{P}_0$ -曲面

[6, II] と [2] の結果をあわせると, 次のようになる。

事実. 自己交点数 0 の因子 ( $\neq 0$ ) をもつ  $\mathbb{P}_0$ -曲面は, 楕円曲面, Hopf 曲面, 放物型井上曲面に限る。

この節では, これを用いて, 次を示す (筆者には, 中村郁夫氏によって指摘された)。

命題. 楕円曲線を含む  $\mathbb{P}_0$ -曲面は, 楕円曲面, Hopf 曲面, 放物型井上曲面のいづれか。

注意. 全ての楕円曲面, Hopf 曲面は楕円曲線を含む。しかし, 放物型井上曲面  $S_{m,d,t}$  (記号は [2] のもの, とくに  $t \in \mathbb{C}^m$ ) は,  $t=0$  のとき楕円曲線を含むが,  $t \neq 0$  のときは楕円曲線を含まない。

まず、次を示す。

井上の補題.  $S$  を楕円曲線  $E$  を含む  $b_1(S) = 1$  の曲面とすると,  $S$  上の自明ではない直線束  $F$  で

$$c_1(F)_{\mathbb{R}} = 0, \quad F|_E \text{ は自明}$$

となるものがある。

⊙ 完全列  $0 \rightarrow \mathbb{Z} \rightarrow \mathbb{C} \rightarrow \mathbb{C}^* \rightarrow 0$  から, 図式

$$\begin{array}{ccccccc} 0 & \rightarrow & H^1(S, \mathbb{Z}) & \rightarrow & H^1(S, \mathbb{C}) & \rightarrow & H^1(S, \mathbb{C}^*) \\ & & \parallel & & \parallel & & \downarrow r \\ & & \mathbb{Z} & & \mathbb{C} & & H^1(E, \mathbb{C}^*) \cong E \end{array}$$

をえる, ただし  $r$  は制限写像。この図式により, 群は全て複素 Lie 群, 写像は全て Lie 群の準同型になっている。したがって  $H^1(S, \mathbb{C}^*)$  は  $\mathbb{C}^*$  を Lie 部分群に含む。よって  $\text{Ker}(r) \neq \{0\}$ .  $\text{Ker}(r) - \{0\}$  の元が求める  $F$  を定める。

命題の証明.  $S$  を  $\mathbb{P}_0$ -曲面,  $E \subset S$  を楕円曲線,  $F$  を井上の補題による  $S$  上の直線束,  $K$  を  $S$  の標準直線束とする。完全列  $0 \rightarrow \mathcal{O}(F-E) \rightarrow \mathcal{O}(F) \rightarrow \mathcal{O}_E \rightarrow 0$  から導かれるコホモロジー群の長完全列を考える。  $S$  は  $\mathbb{P}_0$  なので,  $\chi(S, \mathcal{O}(F)) = \chi(S, \mathcal{O}) = 0$  ([6 I]). よって次のいすゝわかがおこることがわかる。

$$i) \quad H^0(S, \mathcal{O}(F)) \neq 0$$

$$ii) \begin{cases} H^2(S, \mathcal{O}(F-E)) \cong H^0(S, \mathcal{O}(K-F+E)) \neq 0 \\ H^2(S, \mathcal{O}(F)) \cong H^0(S, \mathcal{O}(K-F)) = 0 \end{cases}$$

i) このとき, 因子  $D$  により  $F = [D]$  とかける.  $F \neq 0$  なので,  $D \neq 0$ .  $c_1(F)_{\mathbb{R}} = 0$  なので,  $D^2 = 0$ . よって, 命題は, 事実 から従う.

ii)  $S$  は  $\mathbb{P}^2$  なので, 任意の因子  $\Delta$  に対し,  $\Delta^2 \leq 0$  である ([6, II]). さて因子  $D = \sum m_\nu \mathcal{O}_{\nu}$  により  $K-F+E = [D]$  とかく. ただし  $m_\nu \geq 0$ , 各  $\mathcal{O}_{\nu}$  は 既約曲線とする. 事実により,  $\mathcal{O}_{\nu}^2 < 0$  の場合を調べればよい.  $\mathcal{O}_{\nu}$  は 第一種例外曲線ではないので,  $K \cdot \mathcal{O}_{\nu} \geq 0$ . II) の 2 つ目の条件が  $\mathcal{O}_{\nu} \neq E$ . よって,

$$0 \geq D^2 = \sum m_\nu \{ K \cdot \mathcal{O}_{\nu} + E \cdot \mathcal{O}_{\nu} \} \geq 0.$$

すなわち  $D^2 = 0$ .

$D \neq 0$  なる 命題は 事実 から従う.

$D = 0$  のときは,  $K = F - E$ . そこで 完全列

$$0 \rightarrow \mathcal{O}(-F-E) \rightarrow \mathcal{O}(-F) \rightarrow \mathcal{O}_E \rightarrow 0$$

から導かれた コホモロジ一群の長完全列を考えると,  $\chi(S, \mathcal{O}(-F)) = 0$  により, 次の 1) が成り立つことがわかる.

$$ii-a) \quad H^0(S, \mathcal{O}(-F)) \neq 0$$

$$ii-b) \quad H^2(S, \mathcal{O}(-F-E)) \cong H^0(S, \mathcal{O}(2F)) \neq 0.$$

いづれの場合も, i) のときと同じ理由により, 命題は 事実 から従う.

#### §4 $b_1 \geq 2$ の曲線を含む $\mathbb{P}^2$ -曲面 — 定理2の証明

定理1を仮定して, 定理2を証明する.  $S$  を定理2の仮定を満たす  $\mathbb{P}^2$ -曲面とする. §2と§3の結果から, 次の条件 I), II) を満たす場合のみを考えればよい.

I)  $S$  は有理曲線からなる2つの union の union,  $C_1, C_2, C_1 \cap C_2 = \emptyset$ , を含む.  $C = C_1 \cup C_2$  とかく.

II)  $S$  上の任意の曲線の交点行列は負定値.

$K$  を  $S$  の標準直線束とする. 次から始める.

Step 1 (#1).  $K = [-C_1 - C_2]$ .

☺ まず  $H^0(S, \mathcal{O}(K+C)) \neq 0$  を示す.  $= 0$  とせば,  $\chi(S) = 1$  なので, 完全列

$$0 \rightarrow \mathcal{O}(K) \rightarrow \mathcal{O}(K+C) \rightarrow \mathcal{O}_C(K+C) \rightarrow 0$$

から導かれるコホモロジ一群の長完全列を考えると,

$$H^0(C, \mathcal{O}_C(K+C)) \cong H^0(C_1, \mathcal{O}_{C_1}(K+C_1)) \oplus H^0(C_2, \mathcal{O}_{C_2}(K+C_2)) \cong \mathbb{C}.$$

よって (必要なら, 番号を  $\uparrow$  へかえて)  $H^0(C_1, \mathcal{O}_{C_1}(K+C_1)) = 0$ . 一方, 仮定により,  $H^0(S, \mathcal{O}(K+C_1)) = 0$  なので, 完全列

$$0 \rightarrow \mathcal{O}(K) \rightarrow \mathcal{O}(K+C_1) \rightarrow \mathcal{O}_{C_1}(K+C_1) \rightarrow 0$$

から導かれるコホモロジー群の長完全列を考えると、矛盾が生じる  
ことがわかる。

因子  $D = \sum m_\nu \mathbb{Q}_\nu$  において、 $K+C = [D]$  とかく、ただし  $\mathbb{Q}_\nu$   
は既約、 $m_\nu \geq 0$ 。条件 I) II) を用いると  $(K+C) \cdot \mathbb{Q}_\nu \geq 0$  が  
わかる。こゝから  $D^2 \geq 0$  が従い、条件 II) により、 $D=0$ 。結局、  
 $K+C=0$ 、すなわち、 $K = -C_1 - C_2$ 。

Step 2 . . . 任意の  $m$  に対し、 $H^0(S, \Omega^1(mC_1)) = 0$ 。

☺  $\eta \in H^0(S, \Omega^1(mC_1))$  を任意にとる。  $b_2 > 0$  なので、  
 $S$  上の有理関数は定数のみ。ゆえに、Step 1 を用いて、  
 $H^0(S, \Omega^2((m+1)C_1)) \cong H^0(S, \mathcal{O}(mC_1 - C_2)) = 0$ 。

従って、 $d\eta = 0$  となり、表現

$$\mu: H_1(S - C_1, \mathbb{R}) \rightarrow \mathbb{C}, \quad \mu([\gamma]) = \int_\gamma \eta$$

が定まる。ここで、 $C_1$  の交点行列は負定値なので、 $H_1(S - C_1, \mathbb{R}) =$   
 $H_1(S, \mathbb{R}) = \mathbb{R}$  となる。さらに、§2の3) により、 $C_2$  は  
 $H_1(S - C_1, \mathbb{R})$  の生成元を代表するループ  $\gamma_0$  を含む。一方、 $\eta$  は  
 $C_2$  上正則で、 $C_2$  は有理曲線からなるので、 $\int_{\gamma_0} \eta = 0$ 。結局  $\mu = 0$ 。

$\mu = 0$  により、 $f(x) = \int^\alpha \eta$  は  $S - C_1$  上の一価な正則函  
数を定める。 $C_1$  の交点行列は負定値なので、 $f$  は  $S$  まで正則  
に拡張される従って  $f$  は定数、すなわち、 $\eta = 0$ 。



$\mathcal{S} = \{S_t\}_{t \in T}$ ,  $S_0 = S$ , を  $S$  の変形の完備な複素解析族とする。

Step 3.  $S$  の微小変形  $S_t$  で 楕円曲線をもつものがある。

⊙  $M$  を  $C_1$  の近傍とする。  $C_1$  の交点行列は負定値なので、  $M$  において、  $C_1$  を一点に縮めたものは  $Stem$  空間に存在して、  $m > 0$  に対して、完全列

$$0 \rightarrow \mathbb{H}(-mC_1) \rightarrow \mathbb{H} \rightarrow \mathbb{H}|_{mC_1} \rightarrow 0$$

からのコホモロジー群の完全列を考える。  $M$  は 2次元強擬凸なので、  $H^2(M, \mathbb{H}(-mC_1)) = 0$ 。 Rossi の結果から、  $m > 0$  を適当にとれば、 制限による同型  $H^1(M, \mathbb{H}) \cong H^1(C_1, \mathbb{H}|_{mC_1})$  をえる。 一方、 Step 1, 2 によ、

$$H^2(S, \mathbb{H}(-mC_1)) \cong H^0(S, \Omega^2((m-1)C_1 - C_2)) = 0.$$

結局、上とあわせて、

$$(*) \quad \begin{cases} H^2(S, \mathbb{H}) = H^2(M, \mathbb{H}) = 0, \\ H^2(S, \mathbb{H}) \rightarrow H^1(M, \mathbb{H}) \text{ は全射.} \end{cases}$$

さて、2次元強擬凸な様体の変形に関しては、小平 - Spencer 型の定理が成り立つので、(\*) によ、  $\mathcal{S}$  は、  $C_1$  の近傍の全ての変形を実現していることがわかる[11]。 一方、交点行列負定値の有理曲線の輪の近傍の微小変形で、楕円曲線をもつものの存在は知られていた (Karas)。

Step 4.  $S_t$  は, Hopf 曲面か放物型井上曲面の blow-up.

☹ Step 1 により,  $S$  の 12-種数  $P_{12}(S) = 0$ . よって, その微小変形  $S_t$  に対しても,  $P_{12}(S_t) = 0$ . すなわち, もし  $S_t$  が楕円曲面なら,  $S_t$  は Hopf 曲面の blow-up となる [6, II]. ゆえに Step 3 と §4 の命題から Step 4 が従う.

Step 5.  $\pi_1(S) \cong \pi_1(S_t) \cong \mathbb{Z}$ .

☹  $\rho: \tilde{S} \rightarrow S$  を普遍被覆とし,  $\pi_1(S)$  は被覆変換群と同視する. §2 の 3) により, 各  $\rho^{-1}(C_i)$  の連結成分は, 有理曲線からなる鎖である. 一方,  $b_1(S) = 1$  なので,  $\rho^{-1}(C_i)$  は, 有限個の連結成分からなる. また,  $g \in \pi_1(S)$  は,  $g \neq \text{id}$  なる固定点を持たない. よって,  $g|\rho^{-1}(C) = \text{id}$ . かつ  $g = \text{id}$  である. 以上より,

$G = \{g \in \pi_1(S) \mid g \text{ は } \rho^{-1}(C) \text{ の各連結成分を同じ成分に写す}\}$   
は  $\pi_1(S)$  の, 指数有限の正規部分群となる.  $S' = \tilde{S}/G$  は,  $S$  の有限次不分岐被覆で, 代数次元 0 の  $\mathbb{P}^1$ -曲面であるから,  $S'$  に含まれる有理曲線の輪の数は高々 2 (§2. 1)). 結局, 各  $\rho^{-1}(C_i)$  は連結で,  $\pi_1(S) \subset \mathbb{Z} \oplus \mathbb{Z}$  となる. さらに  $b_1(S) = 1$  なので,  $\pi_1(S) \cong \mathbb{Z}$ .

これで, 定理 1 が応用できる.

最後の Step.  $S$  は GSS を含む.

☹  $\pi_1 \cong \mathbb{Z}$  の Hopf 曲面と, 放物型井上曲面は GSS を

含む (c.f. §5). GSSを含む曲面の blow-up も GSS を含む。  
 よって, Step 4 と Step 5 により,  $S_t$  は GSS を含む。定理 1 に  
 より, その変形,  $S$  も GSS を含む。

### §5. GSS を含む曲面, I

GSS を含む曲面は 全て 次のようにして構成で  
 きる。  $z = (z_1, z_2) \in \mathbb{C}^2$  に対して,  $|z| = \sqrt{|z_1|^2 + |z_2|^2}$  とかく。

$$\textcircled{1} \quad B = \{z \in \mathbb{C}^2 \mid |z| < 1 + \varepsilon\} \quad (\varepsilon > 0)$$

$$\Omega = \{z \in \mathbb{C}^2 \mid 1 - \varepsilon < |z| < 1 + \varepsilon\}$$

とかく。  $B$  から,  $B - \overline{\Omega}$  (の total transform) 上の点の  $m$   
 回 blow-up したものを  $Z$  とする。  $\Omega \subset Z$  と仮定す。

②  $Z - \overline{\Omega}$  の一点をとり, その点のまわりの座標近  
 傍  $(U, \omega)$  を適当にとり,

$$B' = \{\omega \in U \mid |\omega| < 1 + \varepsilon\} \subset\subset U \subset\subset Z - \overline{\Omega}$$

$$\Omega' = \{\omega \in U \mid 1 - \varepsilon < |\omega| < 1 + \varepsilon\}$$

$$N' = B' - \Omega'$$

とする

③  $\sqrt{\text{双射}}$  双正則写像  $\zeta: B \rightarrow B'$  を適当にとる。

$Z-N'$  において, 各  $\alpha \in \Omega$  と  $\zeta(\alpha) \in \Omega'$  とを同一視したものを  $S$  とすると,  $S$  は  $\pi_1(S) \cong \mathbb{Z}$ ,  $b_2(S) = n$  の曲面となる.  $Z$  において  $\bar{\Omega} \cap \Omega' = \emptyset$  なので,  $\Omega \subset S$  とみなせる. さらに  $S - \Omega = Z - \Omega \cup B'$  は連結なので,  $\Omega$  は  $S$  の GSS である.

さらに具体的に見よ (cf. [1], [3], [8], [9]).  $B$  から  $Z$  をえる blow-up の過程を

$$B = W_0 \xleftarrow{\sigma_1} W_1 \xleftarrow{\sigma_2} \cdots \xleftarrow{\sigma_{m-1}} W_{m-1} \xleftarrow{\sigma_m} W_m = Z$$

とかく. ここで,  $\sigma_i$  は点  $p_i \in W_{i-1}$  における blow-up とし,  $C_i = \sigma_i^{-1}(p_i)$  とする. proper transform には同じ記号をあてる.  $\lambda: Z - N' \rightarrow S$  を自然な射影とすると, 各  $C_i$  に対して,  $S$  上の有理曲線  $\mathcal{H}_i$  があって,

$$\lambda(C_i \cap Z - N') \subset \mathcal{H}_i \quad i=1, 2, \dots, m$$

となる. また  $S$  上の有理曲線は, これら  $\mathcal{H}_1, \mathcal{H}_2, \dots, \mathcal{H}_m$  に限る.

さて,

$$C_{j-m} = \zeta^{-1}(C_j \cap B') \subset B$$

において, 以下

$$p_{i+1} \in C_i \quad i=0, 1, 2, \dots, m-1$$

と仮定する (これは  $S$  が極小であるための条件である). このとき,  $p_{i+1}$  の位置には, 次の2つのタイプがある.

10

α)  $P_{2+1} \in C_i - \bigcup_{j < i} C_j$

β)  $P_{2+1} \in C_i \cap \bigcup_{j < i} C_j$ .

したがって、Sには 次の4つのタイプがある。

0)  $n=0$ , すなわち B を blow-up しないとき。

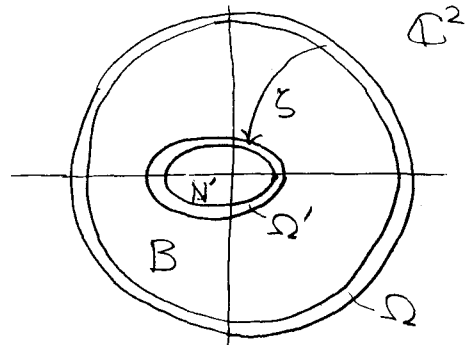
A)  $P_{2+1}$  の位置のタイプが全て α 型のとき。

B)  $P_{2+1}$  の位置のタイプが全て β 型のとき。

AB)  $P_{2+1}$  の位置のタイプに α 型, β 型の両方があるわ  
るとき。

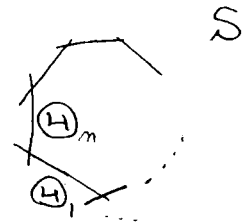
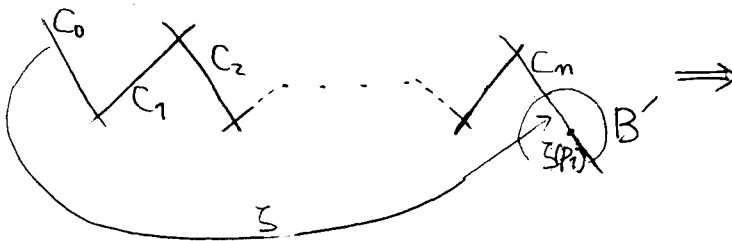
各タイプをくわしく見よう。

0) このとき S は ( $\pi_1 \cong \mathbb{Z}$  の) Hopf 曲面である (右図)。



A) このとき,  $C_i$  の配

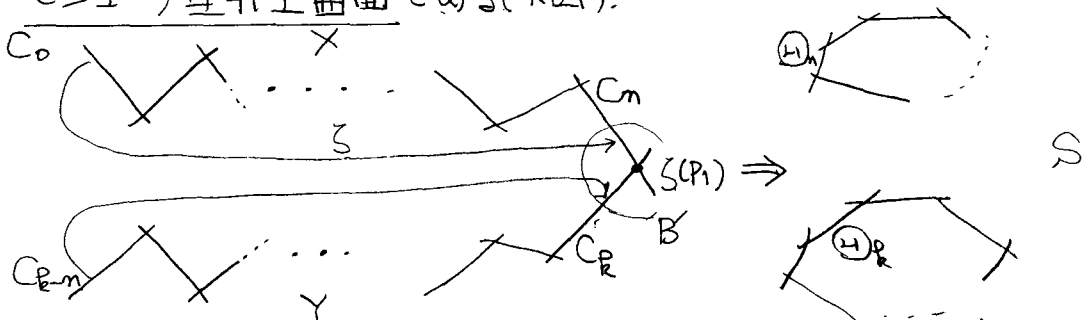
置は鎖状になる。S上  $\sum \Theta_i$  はひげなしの輪で、自己交点数  $(\sum \Theta_i)^2$  は 0 (下図)。



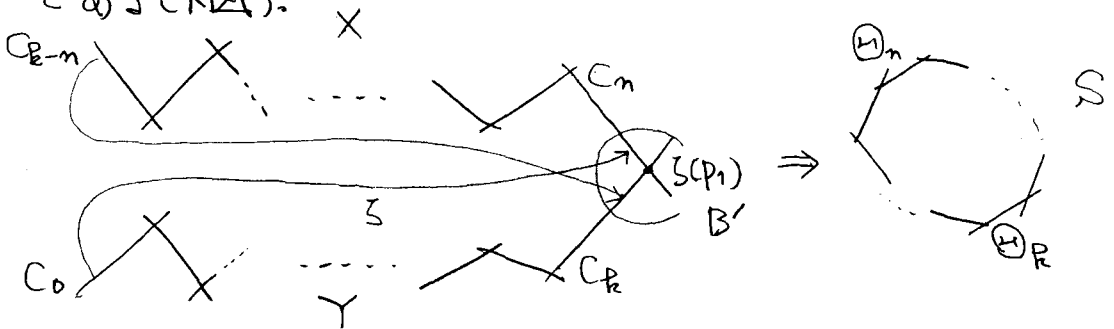
すなわち、Sは 放物型井上曲面 である。

B)  このとき,  $\cup_{j \leq m} C_j \cap (Z-N)$  は 2つの連結成分  $X, Y$  から成る. さらに2つの場合に分ける.

B<sub>0</sub>)  $\zeta(X \cap \Omega) \subset X \cap \Omega', \zeta(Y \cap \Omega) \subset Y \cap \Omega'$  となるときは,  $\Sigma(4)_i$  は 2本の  $\mu$  が互いの軸,  $S$  は Hilbert モジュラー型井上曲面である(下図).

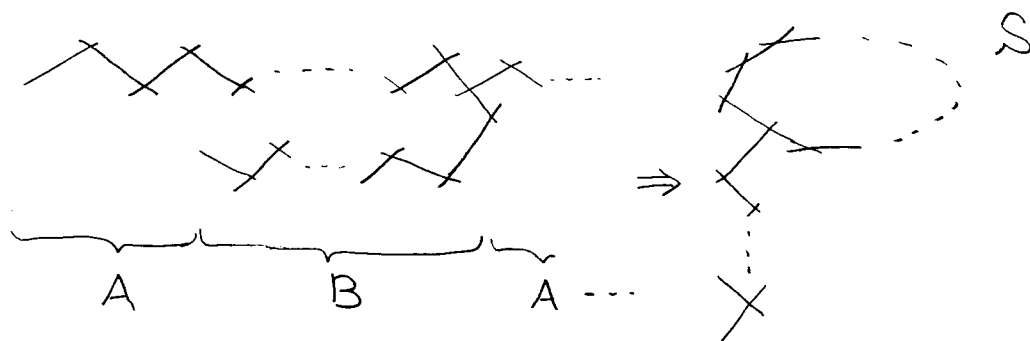


B<sub>1</sub>)  $\zeta(X \cap \Omega) \subset Y \cap \Omega', \zeta(Y \cap \Omega) \subset X \cap \Omega'$  となるときは,  $\Sigma(4)_i$  は 1本の  $\mu$  が互いの軸となる.  $S$  は, 自己双対 Hilbertモジュラー型井上曲面を二重被覆にむ曲面である(下図).



AB)  このとき,  $\cup_{j \leq m} C_j$  の配置の中に A型:  $\sim \dots$  と B型:  $\sim \dots \sim$  が交互にあふれる. したがって,  $\Sigma(4)_i$

は、ひげ付きの一本の輪となる。ひげの本数は、B型フロウの個数に等しく、各ひげは、分岐なしの鎖状である。



この  $S$  は 加藤曲面 と呼ばれる。

## §6. GSSを含む曲面, II

定理1の証明のための準備をしておく。  $S$  を GSSを含む曲面とする。

1)  $S$  の開被覆  $\{E_i\}_{i=1}^m$ ,  $m \geq 3$ , を次をみたすものがある。

i)  $E_i$  は  $B_{i-1}^* - \bar{D}_i$  (かその blow-up)。

ここで,  $B_{i-1}$  は  $\mathbb{C}^2$  内の有界 Stein 領域,

$\alpha_i: B_{i-1}^* \rightarrow B_{i-1}$  は一点の blow-up もしくは恒等写像

$D_i \subset B_{i-1}^*$  は,  $B_{i-1}^*$  のある座標近傍内の有界 Stein 領域,

よく、 $B_0$  として、球  $\{z \in \mathbb{C}^2 \mid |z| < 1\}$  をとれる。

ii)  $E_j \cap E_k \neq \emptyset$  なら、 $j \equiv k \pm 1 \pmod{m}$ .

iii)  $E_i \cap E_{i+1}$  上の正則関数は全て、 $E_{i+1}$  上で正則に拡張される、ただし、 $E_{m+1} = E_1$  とする。

☺☺  $S$  が極小のときを示せば十分である。§5の記号を用いる。 $S$  は、 $\mathbb{C}^2$  内の球  $B$  の  $m$  回 blow-up

$$B = W_0 \xleftarrow{\alpha_1} W_1 \xleftarrow{\alpha_2} W_2 \leftarrow \dots \xleftarrow{\alpha_{m-1}} W_{m-1} \xleftarrow{\alpha_m} W_m = \mathbb{C}^2$$

と、うめ返り  $\zeta: B \rightarrow B' = \zeta(B) \subset \mathbb{C}^2$  かつ定まった。 $B_0 = B$ ,  $D_m = B' - \overline{\Omega}'$  とする。blow-up  $\alpha_{i+1}$  の中心を  $p_{i+1} \in W_i$  として、 $W_i$  のある座標近傍内の有界 Stein 領域  $D_i, B_i$  を、 $p_{i+1} \in \overline{D_i} \subset B_i$  を満たすようにとる。さらに条件

$\alpha_2 \circ \alpha_{i+1} \circ \dots \circ \alpha_m(\zeta(p_1)) = p_i$ ,  $\alpha_1 \circ \alpha_2 \circ \dots \circ \alpha_m(\zeta(B_0)) \subset B_0$  があるので、 $D_i, B_i$  を、

$$\alpha_i(B_i) \subset D_{i-1}$$

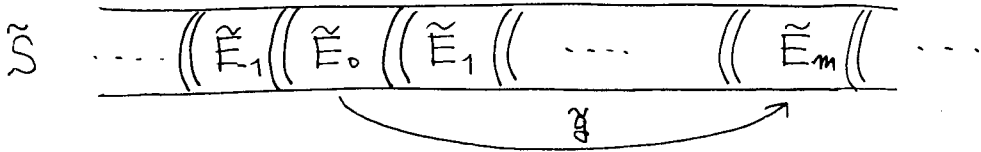
を満たすようにとれる。この  $B_i, D_i$  かつ、 $E_i$  を i) において定めれば、 $\{E_i\}$  は  $S$  の開被覆を定め、ii) を満たす。

$m \geq 3$  なら、iii) は Hartogs の定理から従う。 $m \leq 2$  のときは、さらに、 $E_i$  を適当に分割すればよい。



2)  $\tilde{E}_{\nu m + i}$ ,  $\nu \in \mathbb{Z}$ , を  $E_i$  のコピーとすると,  $S$  の普遍被覆  $\pi: \tilde{S} \rightarrow S$  は次のようにしてえられる.

i)  $\tilde{S} = \bigcup_{j \in \mathbb{Z}} \tilde{E}_j$  は,  $\tilde{E}_j$  を「順」につないだもの(下図).



とくに,  $\tilde{S}$  において,  $\tilde{E}_j \cap \tilde{E}_k \neq \emptyset$  なる  $j = k \pm 1$

ii)  $\pi: \tilde{S} = \bigcup_{j \in \mathbb{Z}} \tilde{E}_j \rightarrow S = \bigcup_{i=1}^m E_i$  は同一視  $\tilde{E}_{\nu m + i} \rightarrow E_i$  から定まる.

3) i)  $\tilde{E}_i \rightarrow E_i \subset B_{i-1}^*$  は正則写像

$$f: \bigcup_{j \equiv i} \tilde{E}_j \rightarrow B_{i-1}^*$$

に拡張される

ii)  $\tilde{S} \rightarrow S$  の被覆変換群 ( $\cong \mathbb{Z}$ ) の生成元  $\tilde{g}$  と, 固定点  $p_{i+1} \in \bar{D}_i$  をもつ  $B_i$  の contraction  $g_i$ ;

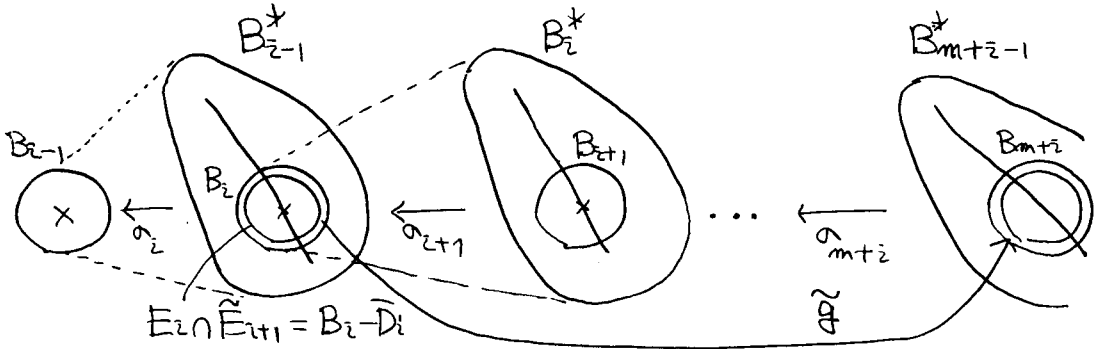
$f \circ \tilde{g} = g_i \circ f$  をみたすものがある。

$$\text{iii) } p_{i+1} \in \bigcap_{\nu \geq 1} f \tilde{g}^\nu \left( \bigcup_{j \equiv i} \tilde{E}_j \right).$$

また,  $S$  が極小なら,  $f^{-1}: B_{i-1}^* - \{p_{i+1}\} \rightarrow \tilde{S}$  は正則包含写像となる。

☹ 各  $1 \leq i \leq m$  に対して,  $\alpha_i: B_{i-1}^* \rightarrow B_{i-1}$ ,  $D_i$  のコピー,  $\alpha_j: B_{j-1}^* \rightarrow B_{j-1}$ ,  $D_j$ ,  $j = \nu m + i$ ,  $\nu \in \mathbb{Z}$ , を

よって,  $\tilde{E}_j = B_{j-1}^* - \bar{D}_j$  (もしくはそのblow-up) とみなす.



i) 各  $\nu \geq 1$  に対して,

$$\alpha^{(\nu)} = \alpha_{z+1} \circ \alpha_{z+2} \circ \dots \circ \alpha_{\nu+m+z} : \left( \bigcup_{j=z}^{\nu+m+z} \tilde{E}_j \right) \cup \bar{D}_{\nu+m+z} \rightarrow B_{z-1}^*$$

は,  $B_{z-1}^*$  の blow-up で,  $\tilde{E}_z \subset B_{z-1}^*$  の拡張である。よって,  $f = \lim_{\nu} \alpha^{(\nu)}$  とおけばよい。

ii)  $\tilde{g} : \tilde{S} \rightarrow \tilde{S}$  は  $\tilde{g}|_{\tilde{E}_j}$  が自然な同型  $\tilde{E}_j \rightarrow \tilde{E}_{j+m}$  となるように定める (Step 2 の図)。このとき,

$g = f \circ \tilde{g} \circ f^{-1} : B_z - \bar{D}_z \rightarrow B_z$  は正則で,  $B_z$  まで拡張される。さらに,  $g(B_z) \subset \bar{D}_z \subset B_z$  となるので,  $g$  は固定点  $p_{z+1} \in \bar{D}_z$  をもつ  $B_z$  の contraction となる [3, I, Lemma 1]。

iii)  $S$  が極小の場合を考えるとやはり必ず  $b_2(S) > 0$  となる。各  $\nu \geq 1$  に対し,  $\bigcup_{j=z}^{\nu+m+z} \tilde{E}_j$  は第一種例外曲線を含まない。よって,  $a \in B_{z-1}^*$  に対して,  $\alpha^{(\nu)-1}(a)$  が, 1次元なら,  $\alpha^{(\mu)-1}(a)$ ,  $\mu \geq \nu$ , も1次元となり,  $\alpha^{(\nu)-1}(a) \cap \bar{D}_{\nu+m+z} \neq \emptyset$ , となる。

$$a \in \alpha^{(\mu)}(\bar{D}_{\mu m+i}), \quad \forall \mu \geq \nu.$$

一方,  $\alpha^{(\mu)}(\bar{D}_{\mu m+i}) = g^\mu(\bar{D}_i)$  とかH,  $g$  は  $P_{2+1}$  の contraction なので,  $a = p_{2+1}$ . 結局, 各  $\alpha^{(\mu)}$  は,  $P_{2+1}$  上の  $\alpha$  の blow-up. とく,  $\alpha$

$$(B_{i-1}^* - g^\mu(\bar{D}_i)) \cup \{p_{2+1}\} = \alpha^{(\omega)}\left(\bigcup_{j=2}^{\nu m+i} \tilde{E}_j\right).$$

そこで,  $\nu \rightarrow \infty$  とすれば, iii) が従う。

$b_2(S) = 0$  のときは,  $S$  は Hopf 曲面で,  $f g^\nu(\bigcup_{j=2}^{\nu m+i} \tilde{E}_j)$  は,  $P_{2+1}$  の近傍から,  $P_{2+1}$  を除いたものである。

### §7. GSS を含む曲面の微小変形 — 定理1の証明, I

§§7, 8 で定理1を証明する。この節では次を示す。

GSS を含む曲面  $S$  の微小変形は全て GSS を含む。

まず, 第一種例外曲線は微小変形は安定なので,  $S$  は極小としてよい。以下, §6の記号をそのまま用いる。

Step 1. i) 制限  $H^1(B_{i-1}^* - \{P_{2+1}\}, \mathbb{Q}) \xrightarrow{\sim} H^1(B_i - \{P_{2+1}\}, \mathbb{Q})$  は同型。

ii)  $\Sigma \subset B_i$  を  $P_{2+1}$  を含む <sup>(C<sup>n</sup>)</sup> 実超曲面とする。

$\theta \in H^1(B_i - \{P_{2+1}\}, \mathbb{Q}), \omega \in H^0(B_i, \Omega^1 \otimes \Omega^2)$  に對して,

$$\langle \theta, \omega \rangle = \int_{\Sigma} \langle \varphi, \omega \rangle$$

と定義すると、これは非退化な pairing となる。ただし、 $\varphi$  は  $\theta$  を代表する  $\mathbb{C}$ -値  $C^\infty(0,1)$ -形式、 $\langle \varphi, \omega \rangle$  は、 $\varphi$  の  $\mathbb{C}$ -成分を、 $\omega$  の  $\Omega^1$ -成分の値をとった  $C^\infty(2,1)$ -形式。

☹️ i) 局所コホモロジー群の完全列から定まる可換図式 (層  $\mathbb{C}$  は略す)

$$\begin{array}{ccccccc} H^1(B_{i-1}^*) & \rightarrow & H^1(B_{i-1}^* - \{P_{2i-1}\}) & \rightarrow & H^2_{\{P_{2i-1}\}}(B_{i-1}^*) & \rightarrow & H^2(B_{i-1}^*) \\ \downarrow & & \downarrow r & & \downarrow e & & \downarrow \\ H^1(B_i) & \rightarrow & H^1(B_i - \{P_{2i}\}) & & H^2_{\{P_{2i}\}}(B_i) & \rightarrow & H^2(B_i) \end{array}$$

において、 $B_j$ ,  $j=i, i-1$ , は Stein なので、 $H^2(B_j) = H^2(B_j^*) = 0$ ,  $j > 0$ . さらに、 $e$  は切除定理により同型なので、制限  $r$  も同型。

ii)  $\mathbb{C}^2$  の座標を  $(z_1, z_2)$  とする。  $B_i \cap (\mathbb{C} \times \mathbb{C}^*)$ ,  $B_i \cap (\mathbb{C}^* \times \mathbb{C})$  は  $B_i$  の Stein 被覆なので  $\theta \in H^1(B_i - \{P_{2i}\}, \mathbb{C})$  の Čech コホモロジーの代表は、 $\sum_{i=1}^2 a_{p_i}^i \frac{1}{z_1^{p_i} z_2^{q_i}} dz_1 \otimes dz_2$  とかける。ただし、 $a_{p_i}^i \in \mathbb{C}$ ,  $p_i \geq 1, q_i \geq 1$ . もし  $a_{p_i}^i \neq 0$  なら、 $\omega_{p_i}^i = z_1^{p_i-1} z_2^{q_i-1} dz_1 \otimes dz_2$  とおくと、 $\langle \theta, \omega_{p_i}^i \rangle \neq 0$ . すなわち、任意の  $\omega \in H^0(B_i, \Omega \otimes \Omega^2)$  に対し、 $\langle \theta, \omega \rangle = 0$  なら、 $\theta = 0$ .

Step 2. 制限  $H^1(S, \mathbb{H}) \rightarrow H^1(E_i, \mathbb{H})$  は 0-写像.

☹  $\theta \in H^1(S, \mathbb{H})$  を任意にとる. §6, 3) iii) によ, 図式

$$H^1(S, \mathbb{H}) \longrightarrow H^1(E_i, \mathbb{H})$$

$$\lambda^* \downarrow \quad \hookrightarrow \quad \uparrow (E_i \hookrightarrow B_{z_i}^*, \text{ による制限})$$

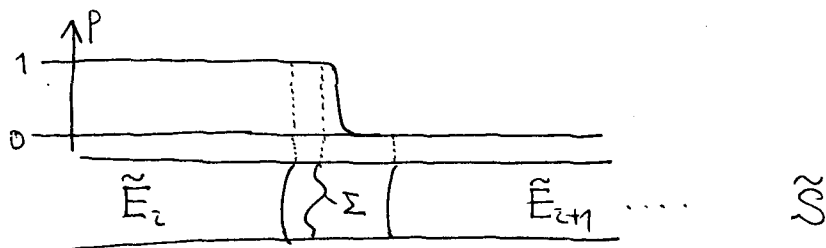
$$H^1(\tilde{S}, \mathbb{H}) \xrightarrow{f^*} H^1(B_{z_{i-1}}^* - \{P_{z_{i+1}}\}, \mathbb{H}) \longrightarrow H^1(B_{z_i} - \{P_{z_{i+1}}\}, \mathbb{H})$$

をえる. Step 1 によ, 任意の  $\omega \in H^0(B_{z_i}, \Omega^1 \otimes \Omega^1)$  に対,  $\langle f^* \lambda^* \theta, \omega \rangle = 0$  を示せばよい. 以下, 適当に  $f^*$ ,  $\lambda^*$  を略す.

$\theta$  を代表する  $\mathbb{H}$ -値  $(0,1)$ -形式  $\psi$  をとる.  $\omega \in H^0(B_{z_i}, \Omega^1 \otimes \Omega^1)$  は任意とする.  $\tilde{S}$  上の  $C^\infty$  関数  $p$ ,  $0 \leq p \leq 1$ , を

$$p(x) = \begin{cases} 1 & x \in \left( \bigcup_{j \leq i} \tilde{E}_j \right) - \tilde{E}_{z_{i+1}} \\ 0 & x \in \left( \bigcup_{j \geq i} \tilde{E}_j \right) - \tilde{E}_z \end{cases}$$

と定め, 超曲面  $\Sigma \subset \tilde{E}_i \cap \tilde{E}_{z_{i+1}} \subset B_{z_i}$  を,  $p|_\Sigma = 1$  とするよ



うにとる. すると,  $\bar{\partial} p$  は,  $S$  上の  $C^\infty$  形式  $\eta$  を定め,  $\eta \wedge \omega$  は,  $S$  上の  $\Omega^1$ -値  $C^\infty(2,1)$  形式に拡張される. さらに,

$$d \langle \psi, p \omega \rangle = \langle \psi, \bar{\partial} p \wedge \omega \rangle$$

となるから,

$$\textcircled{\star} \quad \langle \theta, \omega \rangle = \int_{\Sigma} \langle \psi, \omega \rangle = \int_S \langle \psi, \eta \wedge \omega \rangle$$

とわかる。

さて,  $g$  は  $P_{2+1}$  の contraction なので,  $g_{P_{2+1}}^*$  の LL4 は 1 より小さい。よって  $(1-g^*)^{-1} = \sum_{k=0}^{\infty} (-1)^k g^{*k}$  が  $P_{2+1}$  のまわりで定義され,  $P_{2+1}$  のまわりの  $\Omega^1$ -値正則 2-形式  $\xi$  として

$$\textcircled{\star\star} \quad g^* \xi - \xi = \omega$$

をみたすものがある。  $g$  が  $P_{2+1}$  の contraction なので,  $\xi$  は  $B_2$  まで  $\textcircled{\star\star}$  をみたす正則 2-形式でできる。

$E_1 \cup \dots \cup E_m$  上の  $\Omega^1$ -値  $C^\infty(2,0)$ -形式  $\tilde{\varphi}$ ,

$$\tilde{\varphi} = \rho g^* f^* \xi + (1-\rho) f^* \xi$$

は,  $S$  上の  $\Omega^1$ -値  $C^\infty(2,0)$ -形式  $\varphi$  を定める。  $\textcircled{\star\star}$  により,

$$\bar{\partial} \varphi = \eta \wedge \omega$$

となる。  $\langle \psi, \bar{\partial} \varphi \rangle = d \langle \psi, \varphi \rangle$  で,  $\psi$  は  $S$  上で定義されているので,  $\textcircled{\star}$  により,

$$\langle \theta, \omega \rangle = \int_S \langle \psi, \eta \wedge \omega \rangle = \int_S d \langle \psi, \varphi \rangle = 0.$$

最後の Step Step 2 により,  $H^1(S, \mathbb{C}) \cong \check{H}^1(\{E_i\}, \mathbb{C})$ 。

これにより,  $\theta \in H^1(S, \mathbb{C})$  を,  $\theta = \{\theta_{ij}\}$  とかくと,  $S$  の  $\theta$ -方向の微小変形  $S_\epsilon$  は,  $E_i$  と  $E_j$  のはりあわせを,  $\theta_{ij}$ -方向にずらすせはえられる。  $B_0$  は球だったので,  $E_1$  のみ,  $S_\epsilon$  にあっても GSS を定める。

## §8. GSSを含む曲面の変形極限 — 定理1の証明, II

この節で、次を示して、定理1の証明を完結させる。

$\mathcal{S} = \{S_t\}_{t \in T}$  が曲面の変形族,  $\{t_j\} \subset T$  が  $t_\infty \in T$  に収束する点列で、各  $S_{t_j}$  は GSS を含むとき、 $S_{t_\infty}$  も GSS を含む。

Step 1.  $S_t$  の普遍被覆を  $\tilde{S}_t \rightarrow S_t$  とおいて、 $\tilde{\mathcal{S}} = \{\tilde{S}_t\}_{t \in T}$  とおく。微分同型  $S_{t_1} \times T \rightarrow \mathcal{S}$  から定まる微分同型

$$u: \tilde{S}_{t_\infty} \times T \rightarrow \tilde{\mathcal{S}}, \quad u_j: \tilde{S}_{t_\infty} \rightarrow \tilde{S}_{t_j}$$

を固定する。  $\Omega$  を  $S_{t_1}$  の GSS とすると、 $\Omega \hookrightarrow S_{t_1}$  は、 $\Omega \hookrightarrow \tilde{S}_{t_1}$  にも上がる。これより、 $u$  によって、 $\Omega \times T \hookrightarrow \tilde{\mathcal{S}}$  に拡張される。  $\Omega \times \{t_j\} \subset \tilde{\mathcal{S}}$  を  $\Omega_t \subset \tilde{S}_t$  とおく。  $\tilde{S}_t - \Omega_t$  は 2つの連結成分から成っている。

以下、"もし必要なら、部分列をとって" は略す。

Step 2  $B = \{z \in \mathbb{C}^2 \mid |z| < 1\}$  とおく。このとき、

- ・  $\tilde{S}_{t_j} - \Omega_{t_j}$  のある連結成分  $N_j$ ,
- ・ 正則写像  $f_j: N_j = u_{t_j}(N) \rightarrow B$ ,
- ・  $\tilde{\mathcal{S}} \rightarrow \mathcal{S}$  の被覆変換群 ( $\cong \mathbb{Z}$ ) の生成元  $\gamma$
- ・  $B$  の、 $0 \in B$  の contraction  $g_j$  があって次をみたす。

$$i) \det f_{j*} \neq 0$$

$$ii) \sup \{ |f_j'(x)| \mid x \in N_j \} = 1, \quad 0 \in \bigcap_{\nu \geq 0} \overline{f_j^{\nu}(N_j)}$$

$$iii) f_j \circ \tilde{g} = g_j \circ f_j, \quad g_j(0) = 0.$$

☺  $S_{t_j}$  に対し, §6の結果と記号を用いる.  $\bar{\Omega}_{t_j}$  はコンパクトなので, ある  $\varepsilon$  があり,  $\bar{\Omega}_{t_j} \subset \bigcup_{\mathbb{R} \leq z} \tilde{E}_R$ . §6.3) i) により,  $\tilde{S}_{t_j} - \bar{\Omega}_{t_j}$  の連結成分  $\tilde{N}_j$  と正則函数

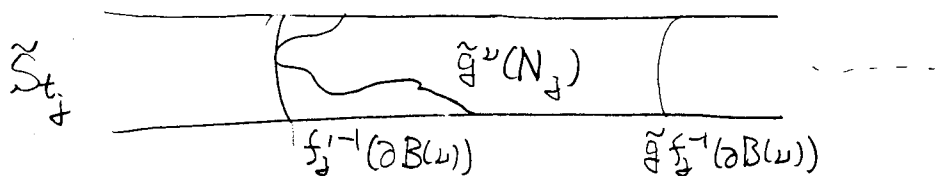
$$f_j : \tilde{N}_j \rightarrow B_\varepsilon \subset \mathbb{C}^2$$

がある. さらに,  $\tilde{S}_{t_\nu} - \bar{\Omega}_{t_\nu}$  のある連結成分  $N$  があり, 任意の  $j$  に対して,  $N_j = u_j(N)$  と仮定できる.  $\mathcal{G} \rightarrow \mathcal{B}$  の被覆変換群の生成元  $\tilde{g}$  は  $\tilde{g}(N) \subset N$  とするようになる. §6.3) ii) により,  $B_\varepsilon$  の contraction  $g_j$  で,  $f_j \circ \tilde{g} = g_j \circ f_j$  となるものがある.

$B(\omega)$  を  $p_{z+1} \in B_\varepsilon$  中心の, 半径  $r_\omega$ ,

$$r_\omega = \sup \{ |f_j(x)| \mid x \in \tilde{g}^\nu(N_j) \},$$

の球とする.  $g_j$  は  $p_{z+1}$  の contraction なので,  $\nu \geq 1$  を十分大きくとれば,  $g_j(B(\omega)) \subset B(\omega)$  を満たす (すなわち  $f_j^{-1}(\partial B(\omega))$  は  $\Omega_j'$  に接する  $S_{t_j}$  の GSS を定める, 下図).





$f_j$  のかわりに,  $\tilde{g}_j * f_j$  を考えて, 定数倍して,  $B(\omega) = B$  とみなせば, 条件を全て満たす。

Step 3.  $f = \lim_{j \rightarrow \infty} u_j * f_j : N \rightarrow B$

$g = \lim_{j \rightarrow \infty} g_j : B \rightarrow B$

が存在して正則。しかも次を満たす。

i)  $\sup\{|f(x)| \mid x \in N\} = 1, \quad 0 \in \bigcap_{j=0}^{\infty} \overline{f \tilde{g}^j(N)}$ .

ii)  $f \circ \tilde{g} = g \circ f, \quad g(0) = 0$ .

☹  $St_j$  の複素構造が,  $St_\infty$  に収束し,  $\{u_j * f_j\}$  は一様有界なので,  $\{u_j * f_j\}$  は正則な  $f$  に収束する。  
 $\{g_j\}$  も正則一様有界なので, 正則な  $g$  に収束する。  
 よって, Step 3 i) ii) は Step ii) iii) から従う。

Step 4.

i)  $g : f(N) \rightarrow f(N)$  は contraction.  $\llcorner$  に,  $g|_{f(N)}$  の固定点は 0 のみ。

ii)  $f : N - f^{-1}(0) \rightarrow B - \{0\}$  は固有。

☹ i)  $\tilde{g}(N) \subset N$  なので,  $g f(N) \subset f(N)$ . 座標を用いて,  $f = (f^1, f^2)$  とかく。最大値の原理により,

$\sup\{|f^2(x)| \mid x \in \tilde{g}^j(N)\} \cong \sup\{|f^2(x)| \mid x \in \tilde{g}^{j+1}(N)\}$

なので,  $\{\tilde{g}^j f\}_{j=1}^{\infty}$  は定数  $p < 1$  に収束する Step 3 i) により,  $p = 0$ . すなわち,  $g|_{f(N)}$  は 0 の contraction.

ii) 固有値はないとすると, 集積点をもちぬ点列  $\{\alpha_k\} \subset N - f^{-1}(0)$  で,  $\{f(\alpha_k)\}$  は  $N - f^{-1}(0)$  の点に収束するところがある。

$$\nu(R) = \max \{ \nu \mid \alpha_k \in \tilde{g}^{-\nu}(N) \}$$

とあくと,  $\nu(R) \rightarrow \infty$  となる。しかし, i) によって,  $f(\alpha_k) \in g^{\nu(R)} f(N)$  は 0 に収束することになり矛盾。

最後の Step.  $St_\infty$  は GSS を含む。

☹  $St_\infty$  は極小とてよい。いくつかの場合に分ける。

I)  $\det f_* \neq 0$  かつ  $0 \notin f(N)$ . このとき, Step 3 i) によって,  $\overline{f(N)}$  は 0 の近傍を含む。よって, 適当な Stern 領域  $D \subset \overline{f(N)}$  をとると,  $f^{-1}(\partial D)$  が  $St_\infty$  の GSS を定める。

II)  $\det f_* \neq 0$  かつ  $0 \in f(N)$ .

II-1)  $\det g_{+0} \neq 0$  の場合。  $g$  の標準形

を考え,  $0 \in B$  のまわりの正則関数  $w = z^2$ ,  $g^* w = dw$ ,  $\nu \in \mathbb{C}^*$  をみたくものをとれる。仮定  $0 \in f(N)$  によって,  $f^* w$  は零点をもつ。よって  $f^* w = 0$  は,  $St_\infty$  上の因子  $D \neq \emptyset$  で  $D^2 = 0$  となるものを定める。この事実によつて,  $St_\infty$  は GSS を含む。

II-2)  $\det g_{+0} = 0$  の場合。  $g$  が正則に拡張されるように,  $B$  を次々に blow-up する:

$B = W_0 \xleftarrow{\alpha_1} W_1 \xleftarrow{\alpha_2} W_2 \leftarrow \dots \leftarrow W_{k-1} \xleftarrow{\alpha_k} W_k \leftarrow \dots$   
すなわち,  $W_1$  は  $p_1 = 0$  の blow-up,  $C_1 = \alpha_1^{-1}(p_1)$  とすると, 仮

定により,  $g: W_1 \rightarrow W_1$  と 正則上 拡張され,  $g(C_1)$  は点  $p_2 \in C_1$  となるから,  $p_2$  を blow-up ( $\tau, \dots$ , とくりかえす).  $\alpha_i$  は  $p_i \in W_{i-1}$  の blow-up とし,  $C_i = \alpha_i^{-1}(p_i)$  とおく.  $\pm$  して

$W_\infty = \varprojlim (W_i - \{p_{i+1}\})$  とおく.

さて, §3 の命題により,  $St_\infty$  が楕円曲線を含む場合のみを考えればよい.

主張 1  $f$  は固有正則写像  $\tilde{f}: N \rightarrow W_\infty$  を定める

これに関する帰納法で次を示せばよい.

(\*)<sub>i</sub>  $\left\{ \begin{array}{l} f \text{ は 正則写像 } R_i: N \rightarrow W_i \text{ を定める。} \\ R_i: N - R_i^{-1}(p_{i+1}) \rightarrow W_i - \{p_{i+1}\} \text{ は 固有} \end{array} \right.$

実際, (\*)<sub>0</sub> は Step 4, (i). (\*)<sub>2</sub> を仮定する.  $\tilde{C} = \{\det f_t = 0\}$  は  $N$  の一次元解析集合で,  $\tilde{f}(\tilde{C}) \subset \tilde{C}$  となる.  $f$  の固定点は 0 のみなので,  $\tilde{C} = f^{-1}(0)$ .  $\tilde{C}$  は  $St_\infty$  の曲線を決めるので,  $\tilde{C}$  は有理曲線からなる無限鎖を含む. よって, (i) により,  $R_{i+1}^{-1}(p_{i+2}) \subset \tilde{C}$  もそうなる. とくに  $R_{i+1}^{-1}(p_{i+2}) \neq \emptyset$  で, 一次元. したがって,  $R_{i+1}$  は正則. 固有性は  $R_i: N - R_i^{-1}(p_{i+1})$  の固有性から従う.

± して,  $g': \tilde{f}(N) \rightarrow \tilde{f}(N)$  は固定点をもたず,  $\tilde{f} \circ g' = g \circ \tilde{f}$  となる.  $(\neq 0)$

主張 2.  $\tilde{f}$  は 高々  $k$  重被覆.

ある  $y \in \tilde{f}(N)$  があつて,  $\tilde{f}^{-1}(y)$  が一次元であるとせよ.

このとき、 $f^{-1}(y) \subset \{ \det f_* = 0 \} = f^{-1}(0)$ .  $f^{-1}(y)$  <sup>(のある連結成分が)</sup>コンパクトな、 $f^{-1}(y)$ のある既約成分が  $S_{t_n}$ の第一種例外曲線を定めることとなり矛盾。 $f^{-1}(y)$ の全ての連結成分がコンパクトでないなら、 $f^{-1}(y)$ は有理曲線の無限鎖を含む。また  $\{ \det f_* = 0 \}$ の連結成分の数は有限なので、ある  $\nu \geq 1$  があって、 $f^{-1}(y) \cap g^{\nu} f^{-1}(y) \neq \emptyset$  となる、 $g \in f^{-1}(N)$  は  $g$ の固定点となり、矛盾。

$f^{-1}(0) \subset W_n$  はコンパクトなので、これを十分大きくとれば、 $f^{-1}(0) \subset W_{\epsilon} - \{ p_{t+1} \} \subset (W_n)$ . ここで、 $p_{t+1}$ のまわりの座標近傍内の有界 Stein 領域  $D (\ni p_{t+1})$  を適当にとれば、 $f^{-1}(0 \cap D)$  が、 $S_{t_n}$ の GSS を定める。

III)  $\det f_* \equiv 0$ . このとき、

$$\max \{ |f_j(x)| \mid x \in \partial N_y \} \rightarrow 0$$

なので、 $0 \in f(N)$ . Step 4 (ii) により、 $f(N) - \{ 0 \}$  は解析集合。さらに、 $f^{-1}(0)$ の連結成分の数は有限個なので、 $f(N)$ は  $B$ の1次元解析集合で、 $0$ を内点に含む。 $g|_{f(N)}$ は  $0$ の contraction なので、 $\Delta = f(N) - \{ 0 \} / \langle g \rangle$  は曲線で、 $f$ は正則写像  $S_{t_n} - C \rightarrow \Delta$  を定める、ただし  $C$ は  $f^{-1}(0)$ の定める曲線。よって、 $\Delta$ は連結非特異楕円曲線。結局、 $f$ は  $N$ 上の正則関数  $w$  で  $f^* w = dw$ ,  $0 < |d| < 1$ , とするものを定める。 $w=0$ は  $S_{t_n}$ 上の因子  $D \neq 0$  で  $D^2=0$

となるものを定めるので、§3の事実により  $S_{\infty}$  は GSS を含む。

### §9. 定理1の高次元化について

定理1は、当然、高次元化できる。このときは、GSSよりも一般に GSPH を考える。

定義 [4]. 連結コンパクトな複素多様体  $X$  上のコンパクト実超曲面  $\Sigma$  が、

・  $X$  が定まる CR-構造で、強擬凸 (すなわち、 $\Sigma$  の局所的な定義方程式を  $f$  とすると、 $\Sigma$  の接空間上  $\partial\bar{\partial}f > 0$ )、

・  $X - \Sigma$  は連結

を満たすとき、 $\Sigma$  を  $X$  の GSPH (global strongly pseudo-convex hypersurface) という。

一般に、 $\Sigma$  が強擬凸で、 $\dim_{\mathbb{R}} \Sigma > 3$  なる、つねに、 $\Sigma$  は Stein 空間を bound する。(  $\dim_{\mathbb{R}} \Sigma = 3$  には反例がある。Stein 空間を bound しない GSPH を含む曲面は発見されていない)。

GSPH を含む多様体  $X$  の微小変形が、GSPH を含むを示すのはやさしい。  $\dim_{\mathbb{C}} X \geq 3$  のとき、変形極限に関して、§8の定理1の証明が平行に高次元化できると思われる。

## References

- [1] G. Blauzky, Invariants associées aux surfaces compact contenant une coquille sphérique global, preprint (1980)
- [2] I. Enoki, Surfaces of Class  $T_{10}$  with curves  
Tohoku Math. J. 33 (1981) #4
- [3] Ma. Kato, Compact complex manifolds containing "global" spherical shells, I, Proc. Intl. Symp. Alg. Geometry, Kyoto 1977; II, manuscript (1978)
- [4] Ma. Kato, Compact complex manifolds containing global strongly pseudocomplex hypersurfaces  
Tohoku Math. J. 31 (1979).
- [5] K. Kodaira, On compact analytic surfaces, I-III
- [6] ---, On the structure of compact analytic surfaces, I-IV  
([5], [6] is Collected Works, vol III).
- [7] M. Imone, On surfaces of Class  $T_{10}$ , Inv. Math. 24 (1974)
- [8] ---, New surfaces with no meromorphic functions,  
Proc. Int. Congress of Math. Vancouver 1974  
II, Complex Analysis and Alg. Geometry, Iwanami, 1977
- [9] I. Nakamura, On surfaces of Class  $T_{10}$ , to appear